

УДК 539.3: 537.633.9

## **ПИРОЭЛЕКТРИЧЕСКИЕ СВОЙСТВА ПОРИСТОГО ТИТАНАТА БАРИЯ**

**А. А. Паньков**

**Пермский национальный исследовательский политехнический университет**

Статья получена 27 октября 2014 г.

**Аннотация.** Получено новое решение связанной краевой задачи электромагнитоупругости в обобщенном сингулярном приближении статистической механики композитов на основе новых решений для сингулярных составляющих вторых производных функций Грина для однородной трансверсально-изотропной пьезоэлектромагнитной среды с эллипсоидальным зерном неоднородности. Представлены результаты расчета эффективных температурных коэффициентов и пьезоэлектрической постоянной пористого титаната бария для различных значений степени пористости и формы: пластинчатых, сферических, игольчатых и туннельных пор.

**Ключевые слова:** пьезокомпозит, краевая задача электромагнитоупругости, эффективные пьезоэлектрические свойства.

**Abstract.** New decision of stochastic connected boundary-volume problem of electro-magnetic elasticity by generalized singular approach of statistical mechanical of composites is received on base of the new decisions for singular parts of second derived Green's function for uniform transversal-isotropic piezo electro-magnetic media. Results of calculation of effective temperature factors and a pyroelectric constant of porous barium titanate for various values of porosity and for some porosity forms are presented.

**Key words:** piezocomposite, boundary value problem of electro-magnetic elasticity, effective pyroelectric properties.

### **Введение**

Пьезоэлектрический эффект состоит в генерации электрических зарядов в кристалле под действием теплового инфракрасного излучения. Изменение спонтанной поляризации и появление электрического поля в пьезоэлектриках может происходить не только при изменении температуры, но и при

механической деформации. Пироэлектрический эффект используется для обнаружения инфракрасного излучения при изменении температуры с точностью до  $10^{-6}$  К. Пироэлектрические приемники имеют малую инерционность, постоянная времени составляет  $10^{-5}$  -  $10^{-7}$  с и менее. Пироэлектрические материалы находят широкое применение в качестве сенсорных устройств различного назначения, детекторов и приемников излучений, датчиков теплотрических приборов, для индикации пространственного распределения излучений в системах визуализации ИК-изображений в темновидении. Разработка новых пироэлектрических материалов и создание устройств на их основе - активно развивающееся направление сегнетоэлектрического материаловедения [1-3]. В композиционных материалах пироэлектрический эффект может по отдельности отсутствовать в каждом компоненте и возникновение такого эффекта на макроуровне композита связано с взаимодействием элементов структуры на микроуровне [4, 5].

Цель работы – исследование закономерностей влияния структурных параметров композита на его эффективные пироэлектромагнитные свойства на основе решения связанной краевой задачи термоэлектромагнитоупругости статистической механики композитов [6–8] с использованием новых решений [8-10] для сингулярных составляющих вторых производных функций Грина для однородной трансверсально-изотропной пьезоэлектромагнитной среды с эллипсоидальным зерном неоднородности.

## 2. Микро- и макроуровни

Рассматриваем двухфазные пьезоактивные среды в представительной области  $V$ , определяющие соотношения для фаз  $f = \overline{1,2}$  [5, 7, 8]

$$\begin{aligned}\sigma_{ij} &= C_{ijmn}^{(f)} \epsilon_{mn} - e_{nij}^{(f)} \widehat{E}_n - h_{nij}^{(f)} \widehat{H}_n - \beta_{ij}^{(f)} \Theta, \\ \widehat{D}_i &= e_{imn}^{(f)} \epsilon_{mn} + \lambda_{in}^{(f)} \widehat{E}_n + \pi_i^{(f)} \Theta, \\ \widehat{B}_i &= h_{imn}^{(f)} \epsilon_{mn} + \mu_{in}^{(f)} \widehat{H}_n + \vartheta_i^{(f)} \Theta,\end{aligned}\tag{1}$$

связывают напряжения  $\sigma$ , индукции электрического  $\widehat{D}$  и магнитного  $\widehat{B}$  полей с

деформациями  $\boldsymbol{\varepsilon}$ , напряжениями электрического  $\widehat{\mathbf{E}}$  и магнитного  $\widehat{\mathbf{H}}$  полей, температурой однородного внешнего нагрева  $\Theta$  через считающиеся известными для каждой фазы  $f$  тензоры упругих свойств  $\mathbf{C}_f$ , пьезоэлектрических  $\mathbf{e}_f$  и пьезомагнитных  $\mathbf{h}_f$  свойств, диэлектрических  $\boldsymbol{\lambda}_f$  и магнитных  $\boldsymbol{\mu}_f$  проницаемостей, температурных коэффициентов  $\boldsymbol{\beta}_f$ , пироэлектрических постоянных  $\boldsymbol{\pi}_f$  и  $\vartheta_f$ . Выполняются условия идеального контакта на межфазных поверхностях: непрерывность векторов перемещений, напряжений, индукций электрического и магнитного полей. Тензоры эффективных свойств  $\mathbf{C}^*$ , ...,  $\vartheta^*$  входят в определяющие соотношения на макроуровне композита

$$\begin{aligned}\sigma_{ij}^* &= C_{ijmn}^* \varepsilon_{mn}^* - e_{nij}^* \widehat{E}_n^* - h_{nij}^* \widehat{H}_n^* - \beta_{ij}^* \Theta, \\ \widehat{D}_i^* &= e_{imn}^* \varepsilon_{mn}^* + \lambda_{in}^* \widehat{E}_n^* + \chi_{in}^* \widehat{H}_n^* + \pi_i^* \Theta, \\ \widehat{B}_i^* &= h_{imn}^* \varepsilon_{mn}^* + \mu_{in}^* \widehat{H}_n^* + \kappa_{in}^* \widehat{E}_n^* + \vartheta_i^* \Theta\end{aligned}\quad (2)$$

и связывают осредненные или макроскопические значения напряжений  $\boldsymbol{\sigma}^* = \langle \boldsymbol{\sigma} \rangle$ , деформаций  $\boldsymbol{\varepsilon}^* = \langle \boldsymbol{\varepsilon} \rangle$ , индукций  $\widehat{\mathbf{D}}^* = \langle \widehat{\mathbf{D}} \rangle$ ,  $\widehat{\mathbf{B}}^* = \langle \widehat{\mathbf{B}} \rangle$ , напряженностей  $\widehat{\mathbf{E}}^* = \langle \widehat{\mathbf{E}} \rangle$ ,  $\widehat{\mathbf{H}}^* = \langle \widehat{\mathbf{H}} \rangle$  электрического и магнитного полей соответственно;  $\langle \dots \rangle$  - оператор осреднения по области  $\mathbf{V}$  структурных полей.

### 3. Обобщенное сингулярное приближение

Решение для тензора эффективных температурных напряжений  $\boldsymbol{\beta}^*$  и векторов эффективных пироэлектрических  $\boldsymbol{\pi}^*$  и пиромагнитных  $\vartheta^*$  постоянных композита в обобщенном сингулярном приближении получено в виде

$$\begin{aligned}\beta_{ij}^* &= \langle \beta_{ij} \rangle + v_1(1 - v_1) \left( -\bar{C}_{ijdb} \bar{T}_{db}^s + \bar{e}_{pij} \bar{T}_p^{(1)s} + \bar{h}_{pij} \bar{T}_p^{(2)s} \right), \\ \pi_i^* &= \langle \pi_i \rangle + v_1(1 - v_1) \left( \bar{\lambda}_{ip} \bar{T}_p^{(1)s} + \bar{e}_{ipq} \bar{T}_{pq}^s \right),\end{aligned}\quad (3)$$

$$\vartheta_i^* = \langle \vartheta_i \rangle + v_1(1-v_1)(\bar{\mu}_{ip}\bar{T}_p^{(2)s} + \bar{h}_{ipq}\bar{T}_{pq}^s)$$

через поправки к соответствующим осредненным по области  $\mathbf{V}$  значениям:  $\langle \boldsymbol{\beta} \rangle$ ,  $\langle \boldsymbol{\pi} \rangle$ ,  $\langle \boldsymbol{\vartheta} \rangle$ , тензоры разностей:  $\bar{\mathbf{C}} = \mathbf{C}_1 - \mathbf{C}_2$ ,  $\bar{\mathbf{e}} = \mathbf{e}_1 - \mathbf{e}_2, \dots, \bar{\boldsymbol{\mu}} = \boldsymbol{\mu}_1 - \boldsymbol{\mu}_2$ ;  $v_1$  - относительное объемное содержание 1-й фазы в  $\mathbf{V}$ . Вошедшие в (5) компоненты тензоров  $\bar{\mathbf{T}}^s$ ,  $\bar{\mathbf{T}}^{(1)s}$  и  $\bar{\mathbf{T}}^{(2)s}$  находим из решения системы алгебраических уравнений

$$\begin{cases} a_{ikdb}^{(1,1)}\bar{T}_{db}^s + a_{ikd}^{(1,2)}\bar{T}_d^{(1)s} + a_{ikd}^{(1,3)}\bar{T}_d^{(2)s} = f_{ik}^{(1)} \\ a_{kdb}^{(2,1)}\bar{T}_{db}^s + a_{kd}^{(2,2)}\bar{T}_d^{(1)s} + a_{kd}^{(2,3)}\bar{T}_d^{(2)s} = f_k^{(2)} \\ a_{kdb}^{(3,1)}\bar{T}_{db}^s + a_{kd}^{(3,2)}\bar{T}_d^{(1)s} + a_{kd}^{(3,3)}\bar{T}_d^{(2)s} = f_k^{(3)} \end{cases} \quad (4)$$

где коэффициенты

$$\begin{aligned} a_{ikdb}^{(1,1)} &= I_{ikdb} - U_{(ik)js}^s (\tilde{C}_{jsdb} + (1-2v_1)\bar{C}_{jsdb}) - \\ & - U_{(ik)s}^{(1)s} (\tilde{e}_{sdb} + (1-2v_1)\bar{e}_{sdb}) - U_{(ik)s}^{(2)s} (\tilde{h}_{sdb} + (1-2v_1)\bar{h}_{sdb}), \\ a_{ikd}^{(1,2)} &= U_{(ik)js}^s (\tilde{e}_{djs} + (1-2v_1)\bar{e}_{djs}) - U_{(ik)s}^{(1)s} (\tilde{\lambda}_{sd} + (1-2v_1)\bar{\lambda}_{sd}), \\ a_{ikd}^{(1,3)} &= U_{(ik)js}^s (\tilde{h}_{djs} + (1-2v_1)\bar{h}_{djs}) - U_{(ik)s}^{(2)s} (\tilde{\mu}_{sd} + (1-2v_1)\bar{\mu}_{sd}), \\ a_{kdb}^{(2,1)} &= -\Phi_{kjs}^s (\tilde{C}_{jsdb} + (1-2v_1)\bar{C}_{jsdb}) - \\ & - \Phi_{ks}^{(1)s} (\tilde{e}_{sdb} + (1-2v_1)\bar{e}_{sdb}) - \Phi_{ks}^{(2)s} (\tilde{h}_{sdb} + (1-2v_1)\bar{h}_{sdb}), \\ a_{kd}^{(2,2)} &= -\delta_{kd} + \Phi_{kjs}^s (\tilde{e}_{djs} + (1-2v_1)\bar{e}_{djs}) - \Phi_{ks}^{(1)s} (\tilde{\lambda}_{sd} + (1-2v_1)\bar{\lambda}_{sd}), \\ a_{kd}^{(2,3)} &= \Phi_{kjs}^s (\tilde{h}_{djs} + (1-2v_1)\bar{h}_{djs}) - \Phi_{ks}^{(2)s} (\tilde{\mu}_{sd} + (1-2v_1)\bar{\mu}_{sd}), \\ a_{kdb}^{(3,1)} &= -\Psi_{kjs}^s (\tilde{C}_{jsdb} + (1-2v_1)\bar{C}_{jsdb}) - \\ & - \Psi_{ks}^{(1)s} (\tilde{e}_{sdb} + (1-2v_1)\bar{e}_{sdb}) - \Psi_{ks}^{(2)s} (\tilde{h}_{sdb} + (1-2v_1)\bar{h}_{sdb}), \\ a_{kd}^{(3,2)} &= \Psi_{kjs}^s (\tilde{e}_{djs} + (1-2v_1)\bar{e}_{djs}) - \Psi_{ks}^{(1)s} (\tilde{\lambda}_{sd} + (1-2v_1)\bar{\lambda}_{sd}), \\ a_{kd}^{(3,3)} &= -\delta_{kd} + \Psi_{kjs}^s (\tilde{h}_{djs} + (1-2v_1)\bar{h}_{djs}) - \Psi_{ks}^{(2)s} (\tilde{\mu}_{sd} + (1-2v_1)\bar{\mu}_{sd}) \end{aligned} \quad (5)$$

и правые части

$$f_{ik}^{(1)} = -U_{(ik)js}^s \bar{\beta}_{js} + U_{(ik)s}^{(1)s} \bar{\pi}_s + U_{(ik)s}^{(2)s} \bar{\vartheta}_s,$$

$$f_k^{(2)} = -\Phi_{kjs}^s \bar{\beta}_{js} + \Phi_{ks}^{(1)s} \bar{\pi}_s + \Phi_{ks}^{(2)s} \bar{\vartheta}_s, \quad (6)$$

$$f_k^{(3)} = -\Psi_{kjs}^s \bar{\beta}_{js} + \Psi_{ks}^{(1)s} \bar{\pi}_s + \Psi_{ks}^{(2)s} \bar{\vartheta}_s;$$

индексы в круглых скобках ( $ik$ ) обозначают выделение симметричной составляющей по этой паре индексов, тензоры разностей:

$$\tilde{\mathbf{C}} = \langle \mathbf{C} \rangle - \mathbf{C}^*, \quad \tilde{\mathbf{e}} = \langle \mathbf{e} \rangle - \mathbf{e}^*, \dots, \quad \tilde{\boldsymbol{\mu}} = \langle \boldsymbol{\mu} \rangle - \boldsymbol{\mu}^*. \quad (7)$$

В формулы (5), (6) входит новое решение для матрицы тензоров сингулярных составляющих  $\mathbf{G}^s$  вторых производных функций Грина  $\mathbf{G}$

$$\nabla \nabla \mathbf{G}(\mathbf{r} - \mathbf{r}_{(1)}) \approx \mathbf{G}^s \delta(\mathbf{r} - \mathbf{r}_{(1)}), \quad (8)$$

$$\mathbf{G} = \begin{vmatrix} U_{ik} & U_i^{(1)} & U_i^{(2)} \\ \Phi_k & \Phi^{(1)} & \Phi^{(2)} \\ \Psi_k & \Psi^{(1)} & \Psi^{(2)} \end{vmatrix}, \quad \mathbf{G}^s = \begin{vmatrix} U_{imjn}^s & U_{imn}^{s(1)} & U_{imn}^{s(2)} \\ \Phi_{imn}^s & \Phi_{mn}^{s(1)} & \Phi_{mn}^{s(2)} \\ \Psi_{imn}^s & \Psi_{mn}^{s(1)} & \Psi_{mn}^{s(2)} \end{vmatrix}$$

для однородной анизотропной пьезоэлектромагнитной «среды сравнения» [6], свойства которой заданы через тензоры:  $\mathbf{C}^*$ ,  $\mathbf{e}^*$ ,  $\mathbf{h}^*$ ,  $\boldsymbol{\lambda}^*$ ,  $\boldsymbol{\mu}^*$  (7), функция Грина  $\mathbf{G} = \mathbf{G}(\boldsymbol{\rho})$ ,  $\delta(\boldsymbol{\rho})$  - дельта-функция Дирака,  $\boldsymbol{\rho} = \mathbf{r} - \mathbf{r}_1$ , в точке  $\mathbf{r}_1$  действует единичная объемная сила, или электрический или магнитный источник,  $\nabla$  - оператор дифференцирования по координатам вектора  $\mathbf{r}$ . Компоненты матрицы  $\mathbf{G}^s$  в (8) вычисляются по формулам

$$U_{imjn}^s = [\bar{U}_{ij}]_{mn}, \quad U_{imn}^{s(1)} = [\bar{U}_i^{(1)}]_{mn}, \quad U_{imn}^{s(2)} = [\bar{U}_i^{(2)}]_{mn}; \quad \Phi_{mjn}^s = [\bar{\Phi}_j]_{mn},$$

$$\Phi_{mn}^{s(1)} = [\bar{\Phi}^{(1)}]_{mn}, \quad \Phi_{mn}^{s(2)} = [\bar{\Phi}^{(2)}]_{mn}; \quad \Psi_{mjn}^s = [\bar{\Psi}_j]_{mn}, \quad \Psi_{mn}^{s(1)} = [\bar{\Psi}^{(1)}]_{mn}, \quad \Psi_{mn}^{s(2)} = [\bar{\Psi}^{(2)}]_{mn},$$

где оператор

$$[\dots]_{mn} = -\frac{1}{4\pi} \int_0^{2\pi} \int_0^\pi \dots \kappa_m \kappa_n \sin \theta d\theta d\phi$$

действует на компоненты тензоров

$$\bar{U}_{ij} = \left( \Lambda_{ij} + \frac{h_i^{(1)} h_j^{(1)}}{\lambda^{(1)}} + \frac{h_i^{(2)} h_j^{(2)}}{\lambda^{(2)}} \right)^{-1}, \quad \bar{U}_i^{(1)} = \bar{U}_{ij} \frac{h_j^{(1)}}{\lambda^{(1)}}, \quad \bar{U}_i^{(2)} = \bar{U}_{ij} \frac{h_j^{(2)}}{\lambda^{(2)}},$$

$$\bar{\Phi}_j = \frac{h_i^{(1)}}{\lambda^{(1)}} \bar{U}_{ij}, \quad \bar{\Psi}_j = \frac{h_i^{(2)}}{\lambda^{(2)}} \bar{U}_{ij}, \quad \bar{\Phi}^{(1)} = \left( h_i^{(1)} \bar{U}_i^{(1)} - 1 \right) \frac{1}{\lambda^{(1)}}, \quad \bar{\Psi}^{(1)} = h_i^{(2)} \bar{U}_i^{(1)} \frac{1}{\lambda^{(2)}},$$

$$\bar{\Phi}^{(2)} = h_i^{(1)} \bar{U}_i^{(2)} \frac{1}{\lambda^{(1)}}, \quad \bar{\Psi}^{(2)} = \left( h_i^{(2)} \bar{U}_i^{(2)} - 1 \right) \frac{1}{\lambda^{(2)}},$$

в которых использованы обозначения

$$\Lambda_{ij} = C_{imjn}^{\bullet} \kappa_m \kappa_n,$$

$$h_i^{(1)} = e_{min}^{\bullet} \kappa_m \kappa_n, \quad h_i^{(2)} = h_{min}^{\bullet} \kappa_m \kappa_n,$$

$$\lambda^{(1)} = \lambda_{mn}^{\bullet} \kappa_m \kappa_n, \quad \lambda^{(2)} = \mu_{mn}^{\bullet} \kappa_m \kappa_n, \quad (9)$$

$$\kappa_1 = \frac{1}{a_1} \sin \theta \cos \phi, \quad \kappa_2 = \frac{1}{a_2} \sin \theta \sin \phi, \quad \kappa_3 = \frac{1}{a_3} \cos \theta,$$

$\phi$  и  $\theta$  - полярные углы в сферической системе координат, поверхность эллипсоидального «зерна неоднородности» [6] задана равенством

$$\sum_{i=1}^3 \left( x_i / a_i \right)^2 = 1 \quad (10)$$

через значения главных полуосей  $a_i$  в (9),  $x_i = r_{(1)i} - r_i$  - координаты вектора  $\mathbf{x}$ .

#### 4. Численный расчет

Проведем расчет отличных от нуля эффективных температурных коэффициентов  $\beta_{11}^*$ ,  $\beta_{33}^*$  и пьезоэлектрической постоянной  $\pi_3^*$  титаната бария с распределенными по объему керамики ориентированными эллипсоидальными порами при различных степенях заполнения  $v_1$ . Главные полуоси  $a_i$  эллипсоидальных пор ориентированы вдоль соответствующих координатных осей  $r_i$  (9), (10). Свойства среды сравнения в (7), (9) приравниваем к осредненным по объему значениям:  $\mathbf{C}^{\bullet} = \langle \mathbf{C} \rangle$ ,  $\mathbf{e}^{\bullet} = \langle \mathbf{e} \rangle$ ,  $\mathbf{h}^{\bullet} = \langle \mathbf{h} \rangle$ ,  $\boldsymbol{\lambda}^{\bullet} = \langle \boldsymbol{\lambda} \rangle$ ,  $\boldsymbol{\mu}^{\bullet} = \langle \boldsymbol{\mu} \rangle$ . Независимые упругие, диэлектрические и пьезомеханические постоянные трансверсально-изотропных электроупругих свойств титаната бария [5]:

$$C_{1111}^{(2)} = 16,80 \cdot 10^{10} \text{ Па}, \quad C_{1122}^{(2)} = 7,82 \cdot 10^{10}, \quad C_{1133}^{(2)} = 7,10 \cdot 10^{10} \text{ Па},$$

$$C_{3333}^{(2)} = 18,90 \cdot 10^{10} \text{ Па}, \quad C_{1313}^{(2)} = 5,46 \cdot 10^{10} \text{ Па},$$

$$e_{113}^{(2)} = 11,6 \text{ Кл/м}^2, \quad e_{311}^{(2)} = -4,40 \text{ Кл/м}^2, \quad e_{333}^{(2)} = 18,6 \text{ Кл/м}^2,$$

$$\lambda_{11}^{(2)} = 112 \cdot 10^{-10} \text{ Ф/м}, \quad \lambda_{33}^{(2)} = 126 \cdot 10^{-10} \text{ Ф/м},$$

$$\beta_{11}^{(2)} = 2,18 \cdot 10^6 \text{ Па/К}, \quad \beta_{33}^{(2)} = 1,95 \cdot 10^6 \text{ Па/К},$$

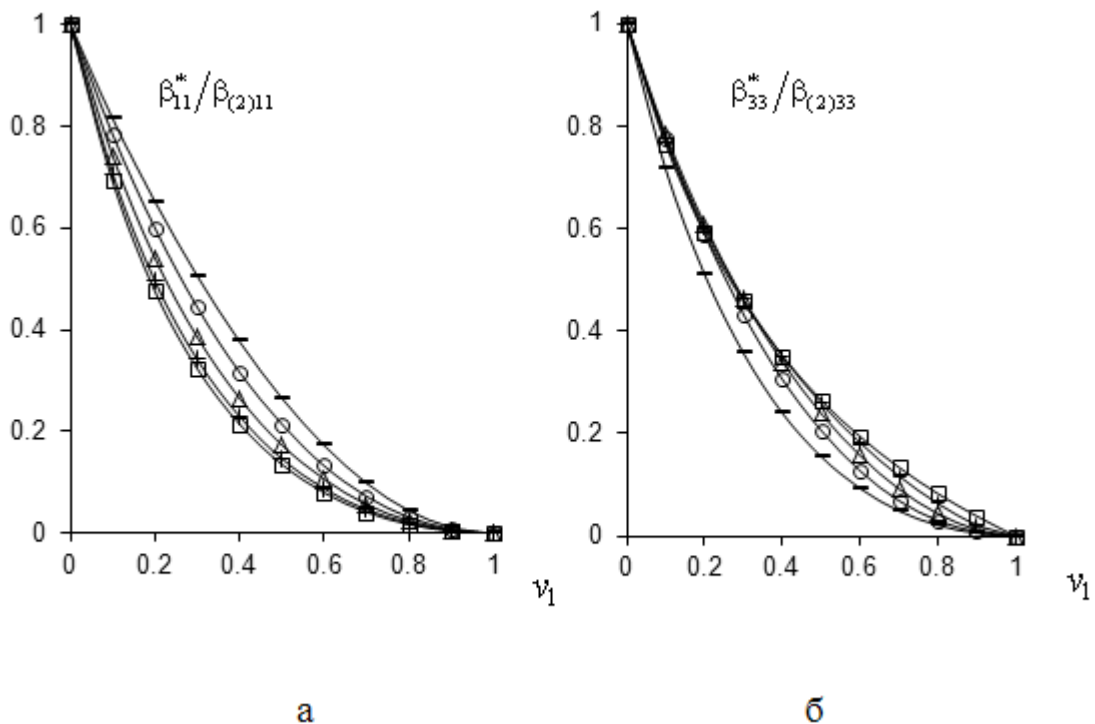
$$\pi_3^{(2)} = 19 \cdot 10^{-5} \text{ Кл/Км}^2$$

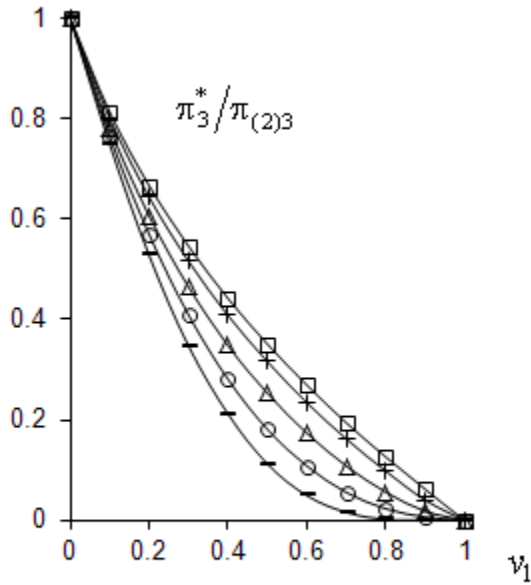
Дополнительные ненулевые компоненты тензоров  $C_2$ ,  $e_2$  и  $\lambda_2$  могут быть выражены через значения независимых компонент по формулам

$$C_{2222}^{(2)} = C_{1111}^{(2)}, \quad C_{2233}^{(2)} = C_{1133}^{(2)}, \quad C_{2323}^{(2)} = C_{1313}^{(2)}, \quad C_{1212}^{(2)} = (C_{1111}^{(2)} - C_{1122}^{(2)})/2,$$

$$e_{322}^{(2)} = e_{311}^{(2)}, \quad e_{223}^{(2)} = e_{113}^{(2)}, \quad \lambda_{22}^{(2)} = \lambda_{11}^{(2)}$$

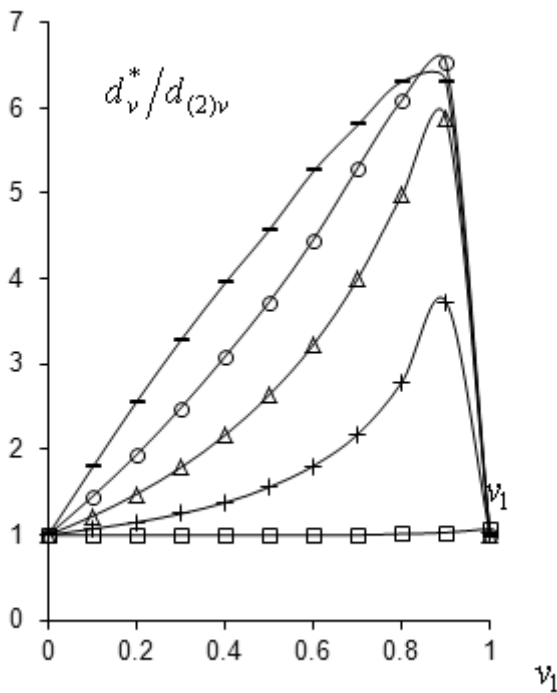
с учетом симметрии:  $C_{ijmn} = C_{mnij} = C_{jimn} = C_{ijnm}$ ,  $e_{imn} = e_{inm}$ .





а

Рис. 1. Эффективные температурные коэффициенты  $\beta_{11}^*$ ,  $\beta_{33}^*$  (а, б) и пьезоэлектрическая постоянная  $\pi_3^*$  (в) пористого титаната бария



б

Рис. 2 Эффективный объемный пьезомодуль  $d_v^*$  пористого титаната бария

Результаты расчета эффективных температурных коэффициентов  $\beta_{11}^*$ ,  $\beta_{33}^*$ , пьезоэлектрической постоянной  $\pi_3^*$  и, дополнительно, объемного пьезомодуля  $d_v^* = d_{333}^* + 2d_{311}^*$ , пористого титаната бария приведены на рис. 1 и рис. 2 для различных значений степени наполнения  $\nu_1$ . при варьировании параметром



формы  $q = a_3/a_{1(2)} : 0,5 (-), 1 (\circ), 2 (\triangle), 5 (+), \infty (\square)$  эллипсоидальных пор. Отметим, что компоненты  $d_{333}^*$ ,  $d_{311}^*$  рассчитываются  $d_{kij}^* \equiv e_{kpq}^* C_{pqij}^{*-1}$  через компоненты тензоров эффективных пьезоэлектрических модулей  $e^*$  и упругих свойств  $C^*$  (2) [8].

## Заключение

Получено новое решение для тензоров эффективных пьезоэлектромагнитных свойств композитов, фазы которых, в общем случае, обладают пьезо- и пьезоэффектом как в электрических, так и в магнитных полях. Решение получено в рамках известного и хорошо апробированного подхода статистической механики композитов [6–8] на основе решения связанной краевой задачи электромагнитоупругости статистической механики композитов с использованием новых решений для сингулярных составляющих вторых производных функций Грина для однородной трансверсально-изотропной пьезоэлектромагнитной среды с эллипсоидальным зерном неоднородности. Проведен анализ влияния формы и величины относительного объемного содержания ориентированных эллипсоидальных (дисковых, шаровых, игольчатых, туннельных) пор на эффективные температурные коэффициенты, пьезоэлектрическую постоянную и объемный пьезомодуль пористого титаната бария.

Работа выполнена при финансовой поддержке гранта РФФИ № 14-01-96004 р\_урал\_а.

## Литература

1. Коротких Н.И., Матвеев Н.Н., Сидоркин А.С. Пьезоэлектрические свойства полиэтиленоксида // Физика твердого тела, 2009, Т.51, №6.-С.1215-1217.
2. Смирнова Е.П., Александров С.Е., Сотников К.А., Капралов А.А., Сотников А.В. Пьезоэлектрический эффект в твердых растворах на основе

- магнониобата свинца // Физика твердого тела, 2003, Т.45, №7.-С.1245-1249.
3. Ярмаркин В.К., Шульман С.Г., Панкова Г.А., Леманов В.В. Пироэлектрические свойства кристаллов некоторых соединений на основе белковых аминокислот// Физика твердого тела, 2005, Т.47, №1.-С.2047-2049.
  4. Керимов М.К., Курбанов М.А., Агаев Ф.Г., Мусаева С.Н., Керимов Э.А. Пироэлектрический эффект в композитах, кристаллизованных в условиях действия плазмы электрического разряда // Физика твердого тела, 2005, Т.47, №4.-С.686-690.
  5. Каралюнас Р.И. Эффективные термопьезоэлектрические свойства слоистых композитов // Механика композит. материалов, 1990, № 5.– С.823–830.
  6. Шермергор Т.Д. Теория упругости микронеоднородных сред. - М.: Наука, 1976.-399с.
  7. Хорошун Л.П., Маслов Б.П., Лещенко П.В. Прогнозирование эффективных свойств пьезоактивных композитных материалов. – Киев: Наук. думка, 1989. –208с.
  8. Паньков А.А. Статистическая механика пьезокомпозитов. - Пермь: Изд-во Перм. гос. техн. ун-та, 2009. –480с.
  9. Паньков А.А. Максвелл-вагнеровская релаксация в пьезокомпозите PVF/феррит с эллипсоидальными включениями в переменном электрическом поле // Журнал радиоэлектроники: электронный журнал. 2013. - №6 . URL: <http://jre.cplire.ru/jre/jun13/12/text.pdf>
  10. Паньков А.А. Влияние разупорядоченности и инверсии фаз на электромагнитную связанность пьезокомпозита с квазипериодической структурой // Журнал радиоэлектроники: электронный журнал. 2014. - №1. URL: <http://jre.cplire.ru/jre/jan14/12/text.pdf>